

Ferrittyp <i>Ferrite type</i>			Mangan-Zink/ <i>Manganese-Zinc</i>	
Ferritmaterial / <i>Ferrite material</i>			F02	F08
Werkstoffnummer zur Identifikation <i>Code number for ferrite grad</i>			10..	11..
Anfangspermeabilität <i>initial permeability</i>	μ_i	+/- 25%	1800	700
Bezogener Verlustfaktor <i>relative loss factor</i>	$\tan \delta / \mu_i$	10^{-6}	15	20
bei der Frequenz <i>frequency</i>	f	MHz	0,2	0,8
Frequenzbereich für Spulen hoher Güte <i>range of frequency for tuned circuit</i>	f	MHz	0,001÷0,3	0,02÷1,5
Temperaturfaktor *1 <i>temperature factor</i>	$\alpha_F -30^\circ\text{C} \dots +20^\circ\text{C}$ $\alpha_F +20^\circ\text{C} \dots +70^\circ\text{C}$	10^{-6} K^{-1} 10^{-6} K^{-1}	2,7 3,6	4,0 6,6
Spezifischer Widerstand <i>resistivity</i>	ρ	Ωm	1	1
Curietemperatur <i>Curie temperature</i>	T_C	$^\circ\text{C}$	150	260
Induktion nahe der Sättigung <i>saturation flux density</i>	B_S	mT	340	400
gemessen bei <i>measured at</i>	H	A/m	1200	5000
Hysteresestoffkonstante <i>hysteresis material constant</i>	η_B	10^{-6} mT^{-1}	2,5	2,5
Desakkommodation <i>disaccommodation</i>	d	10^{-2}	2,35	2,71
Desakkommodationsfaktor <i>disaccommodation factor</i>	D_F	10^{-6}	13	37
Kennfarbe (wenn gewünscht) <i>colour code (if desired)</i>			rot <i>red</i>	weiß <i>white</i>

*1 Typischer α_F aus linearen Näherungen der L(T)-Kurve mit gemeinsamen Punkt L (20°C) für beide Temperaturbereiche.
Typical α_F from linear fits of L(T)-curve with common point L (20°C) for both temperature ranges.

Nickel-Zink/ Nickel-Zinc										
F2	F2a	F10b	F10a	F20	F40	F100	F100b	F1is	F5is	F1ib
06..	14..	05..	18..	03..	02..	01..	15..	13..	08..	17..
220	350	120	160	55	30	14	14	450	150	700
40	50	70	160	160	200	300	300	70	90	70
2	2	10	10	20	40	100	100	1	5	1
0,1 ÷ 4	-	0,5 ÷ 12	-	5 ÷ 25	8 ÷ 60	20 ÷ 200	20 ÷ 200	-	-	-
9,0 1,3	-3,4 -0,5	2,1 0,7	-3,8 -0,2	7,6 10	-4,6 19	-208 -4,2	38 52	6,7 6,4	19 21	6,7 8,0
10 ⁵	10 ⁵	10 ⁵	10 ⁵	10 ⁶	10 ⁶	10 ⁶	10 ⁶	10 ⁷	10 ⁶	10 ⁷
340	340	380	380	470	500	600	600	160	190	160
500	500	360	360	300	320	200	255	390	300	340
10000	10000	5000	5000	5000	5000	5000	8500	10000	5000	10000
-	-	-	-	-	-	-	-	-	-	-
0,47	0,47	0,3	0,3	0,05	0,03	< 0,01	< 0,01	≤ 0,01	< 0,01	≤ 0,01
18	18	22	22	17	12	≤ 1	< 1	≤ 1	≤ 1	≤ 1
braun <i>brown</i>	-	violett <i>violett</i>	violett <i>violett</i>	blau <i>blue</i>	gelb <i>yellow</i>	-	grün <i>green</i>	-	-	-

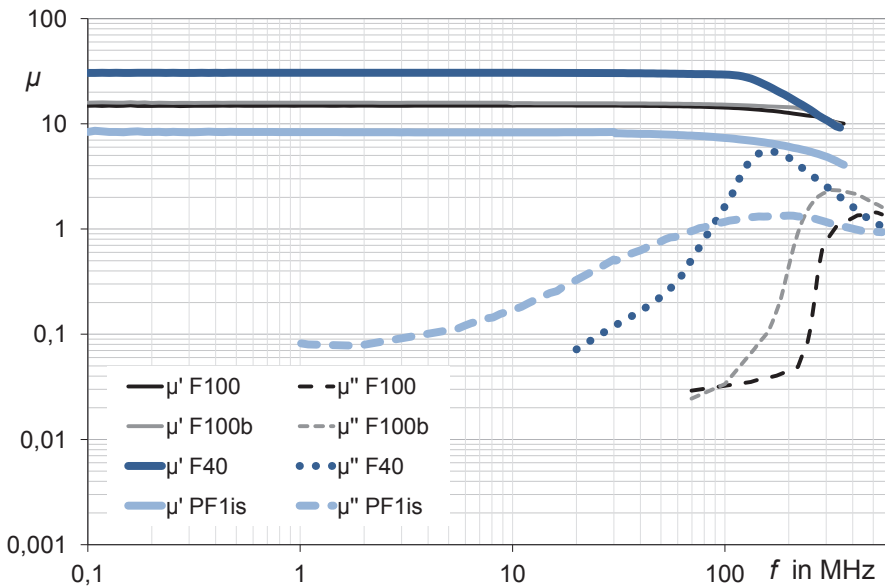
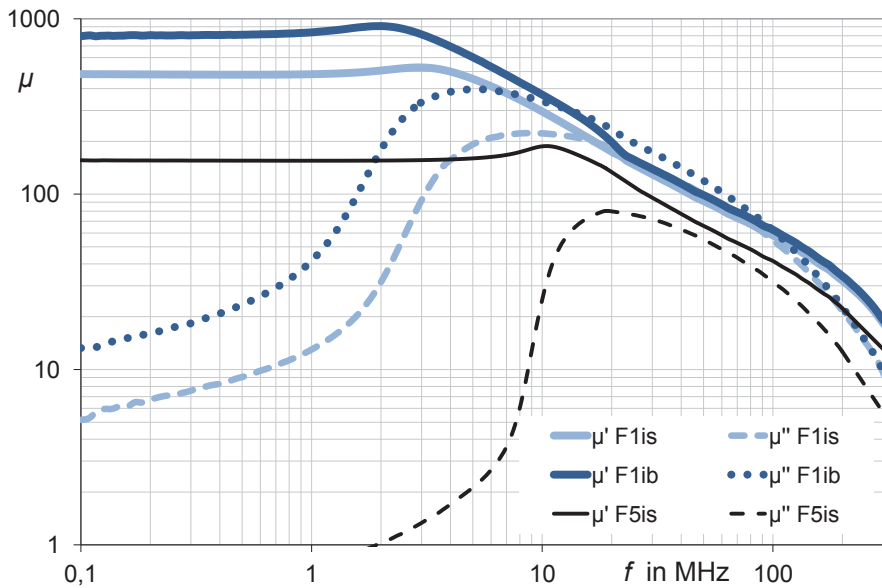
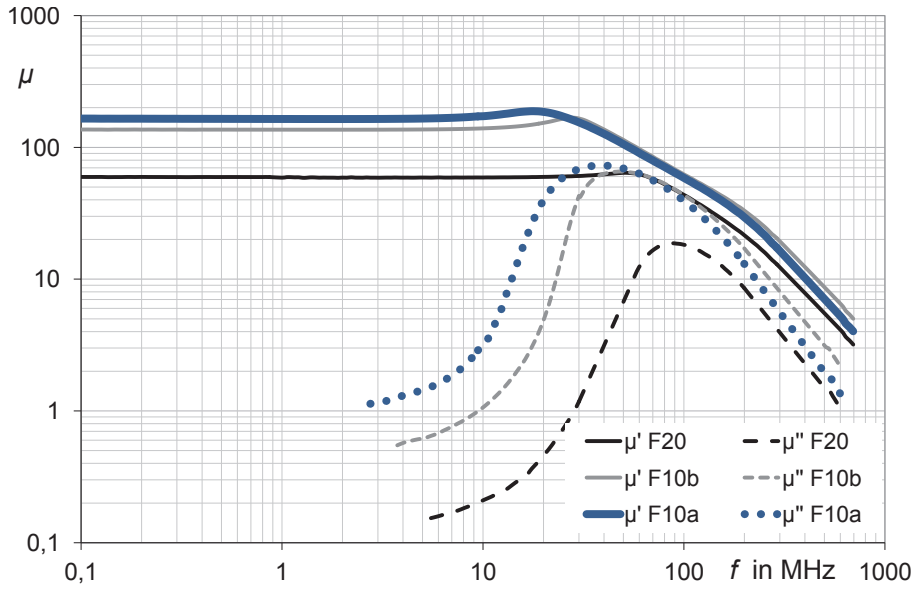
Ferritmaterial <i>Ferrite material</i>			Plastoferrit PF1is
Anfangspermeabilität <i>initial permeability</i>	μ_i	+/- 25%	8
Frequenzbereich für Spulen hoher Güte <i>range of frequency for tuned circuit</i>	f_{max}	MHz	-
Bezogener Verlustfaktor <i>relative loss factor</i>	$\tan \delta / \mu_i$	10^{-6}	100
bei der Frequenz <i>frequency</i>	f	MHz	1
Spezifischer Widerstand <i>resistivity</i>	ρ	Ωm	-
Curietemperatur <i>Curie temperature</i>	T_C	$^{\circ}C$	-
Koerzitivfeldstärke <i>coercive field strength</i>	H_C	A/m	-
Kernverlustleistung <i>power loss for core material</i> f=16kHz, T=25°C, B=200mT	P_V	mW/cm ³	-
Kernverlustleistung <i>power loss for core material</i> f=25kHz, T=25°C, B=200mT	P_V	mW/cm ³	-
Anwendungen <i>applications</i>			Enstörung, EMI
Kernformen <i>core shapes</i>			

Alle Angaben ohne Gewähr. Irrtümer und Änderungen vorbehalten. No responsibility is taken for the correctness. Errors and changings reserved.

F04	F-T9	F-827	F-867	F-830	F-860	F-938	F-942	F-DL6	F-T22
2000	2500	2000	2000	4000	5500	9800	15000	300	2800
1	3,5	0,3	0,3	-	0,1	0,1	-	2	0,4
18	<8	≤4	≤4	1,5	-	-	0,95	-	-
0,1	0,1	0,1	0,1	0,01	-	-	0,01	-	-
>10 ⁶	1	3	2	0,1	0,15	0,5	0,06	6,5	3
90	>200	≥220	≥220	180	110	140	105	220	200
6	12	15	20	12	6	6	2,3	24	12
-	130	-	-	-	-	-	-	-	-
-	-	-	-	-	-	-	-	-	-
Enstörung, EMI	Leistungsübertrager <i>power conversion</i>								
Toroid, Balun	Toroid, E, EC, U, ETD, RM		Toroid, E, U				Toroid, Zy, St		Toroid, E, St

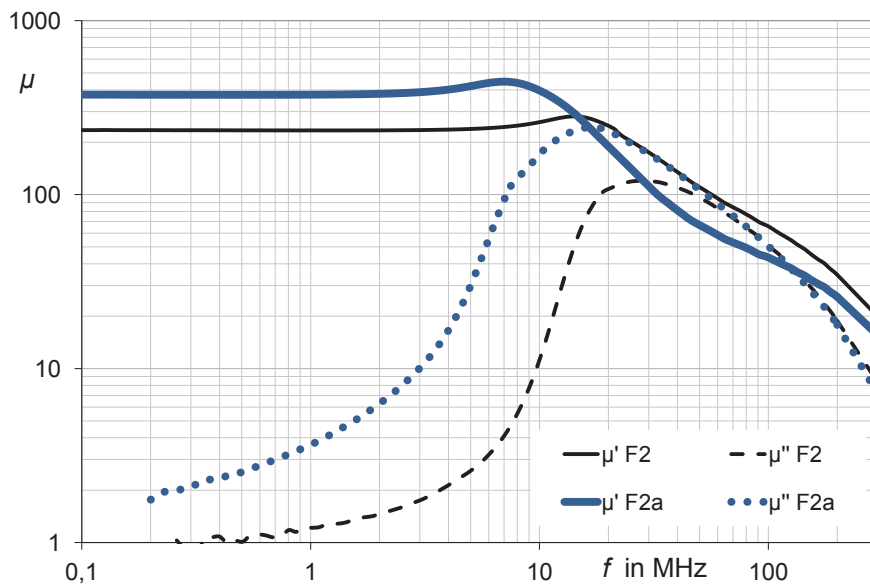
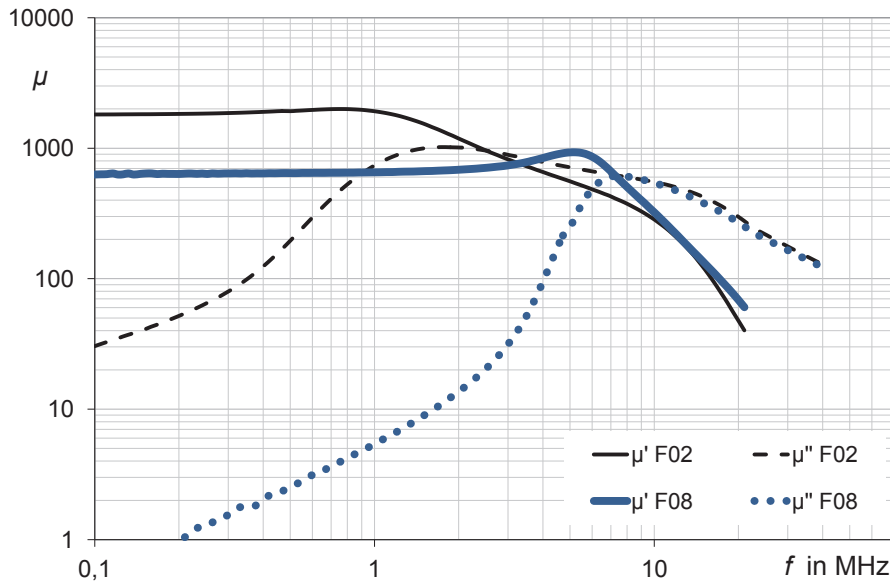
Alle Angaben ohne Gewähr. Irrtümer und Änderungen vorbehalten. No responsibility is taken for the correctness. Errors and changings reserved.

Komplexe Permeabilität in Abhängigkeit der Frequenz
Complex permeability depending on the frequency



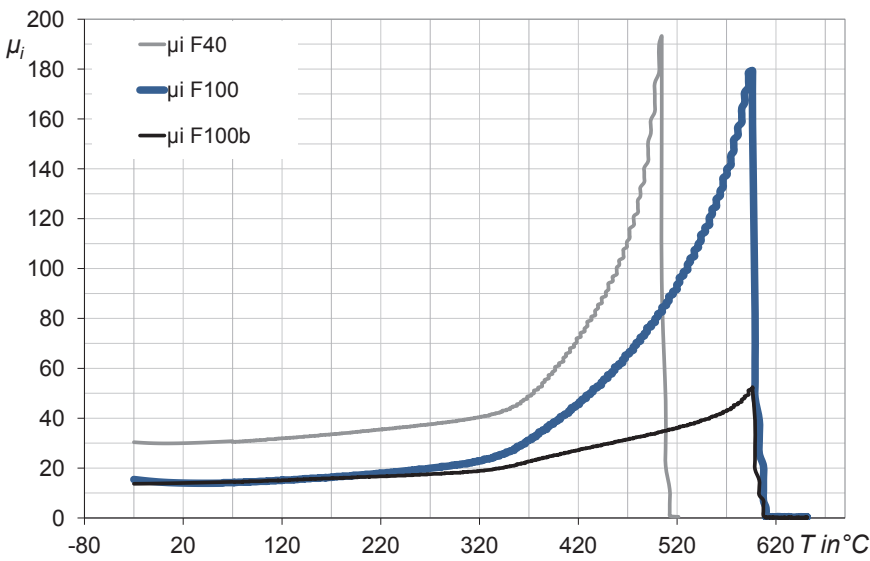
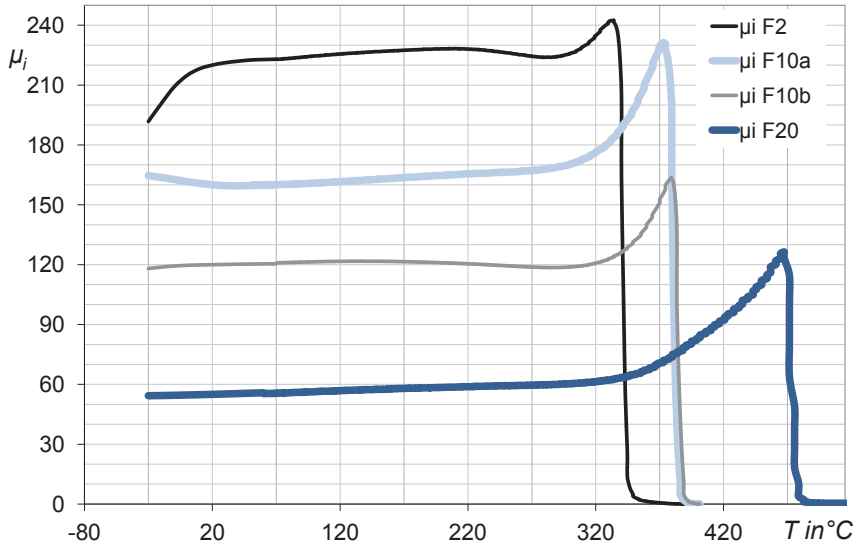
Alle Angaben ohne Gewähr. Irrtümer und Änderungen vorbehalten. No responsibility is taken for the correctness. Errors and changings reserved.

Komplexe Permeabilität in Abhängigkeit der Frequenz Complex permeability depending on the frequency



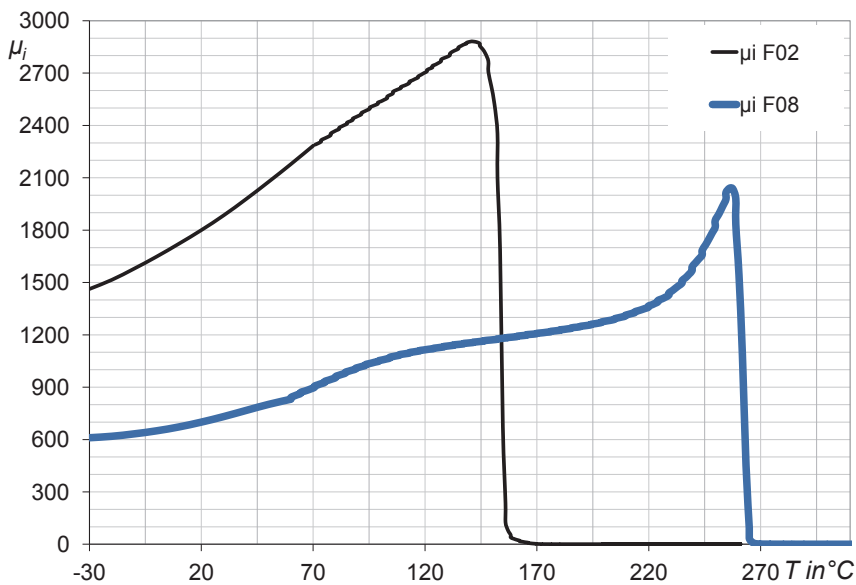
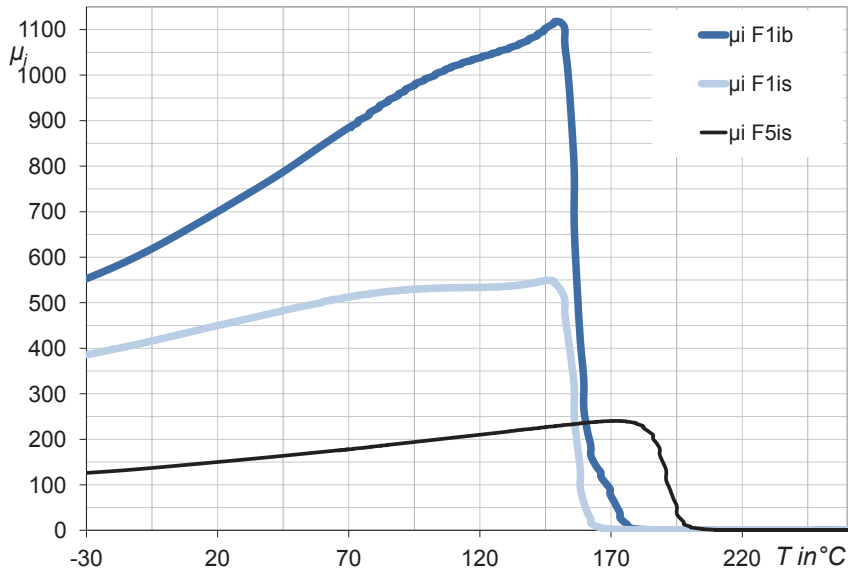
Alle Angaben ohne Gewähr. Irrtümer und Änderungen vorbehalten. No responsibility is taken for the correctness. Errors and changings reserved.

Anfangspermeabilität in Abhängigkeit der Temperatur
Initial permeability depending on the temperature

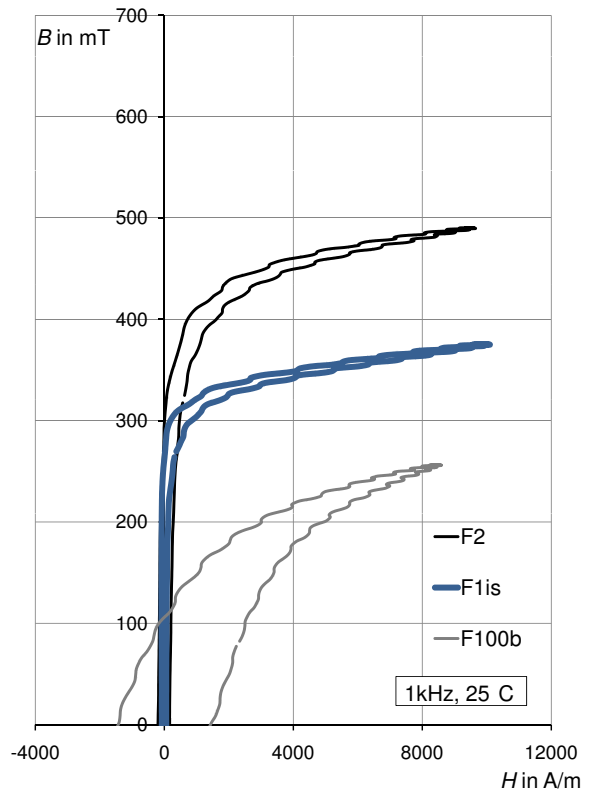
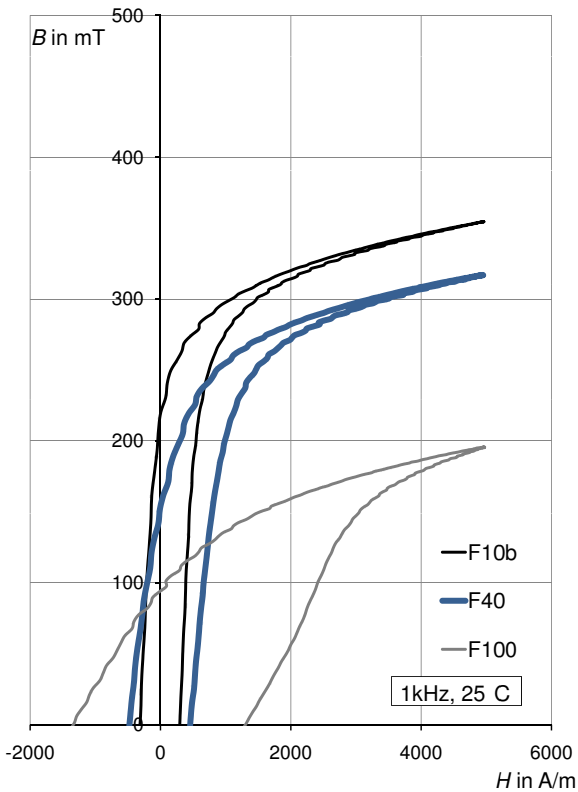
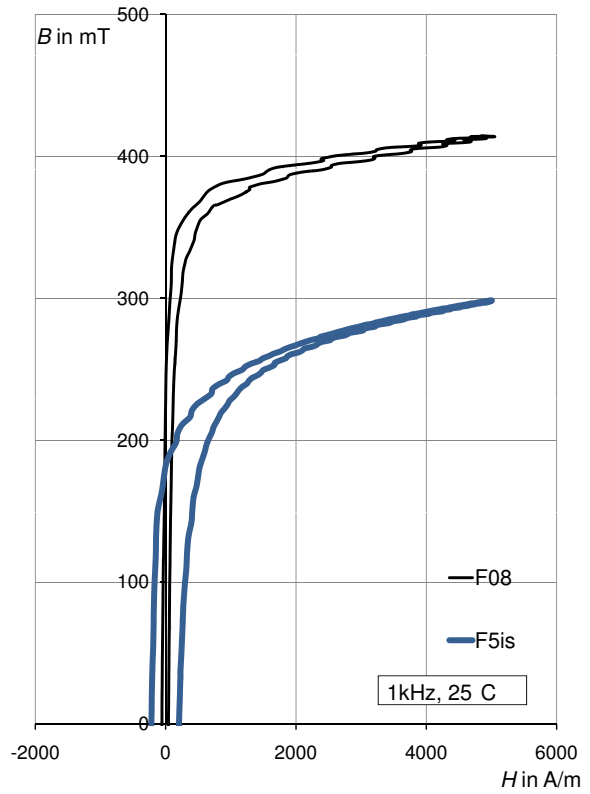
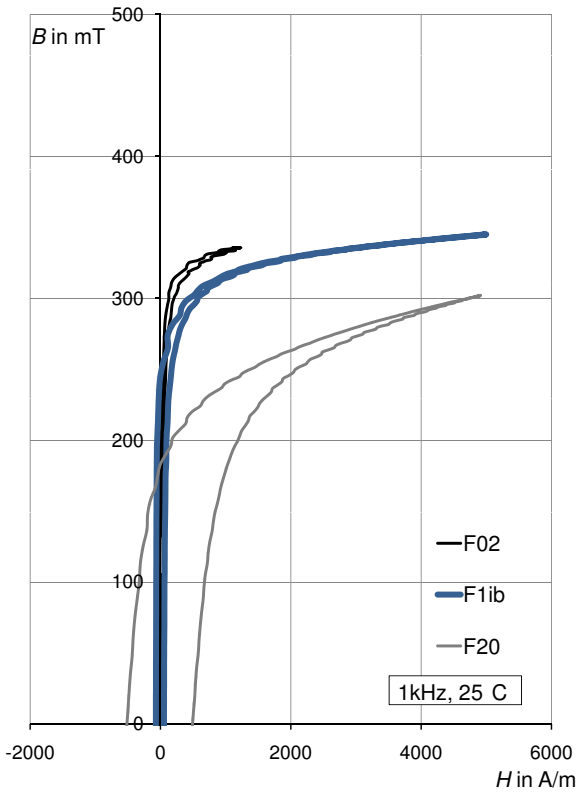


Anfangspermeabilität in Abhängigkeit der Temperatur

Initial permeability depending on the temperature



Dynamische Magnetisierungskurven nahe der Sättigung
 (Richtwerte)
 Dynamic magnetisation curves close to saturation
 (typical values)



Alle Angaben ohne Gewähr. Irrtümer und Änderungen vorbehalten. No responsibility is taken for the correctness. Errors and changings reserved.